

## SIDANG TESIS

# PENGARUH PANAS TERHADAP ALIRAN KONVEKSI BEBAS YANG MELALUI SEBUAH BOLA BERPORI

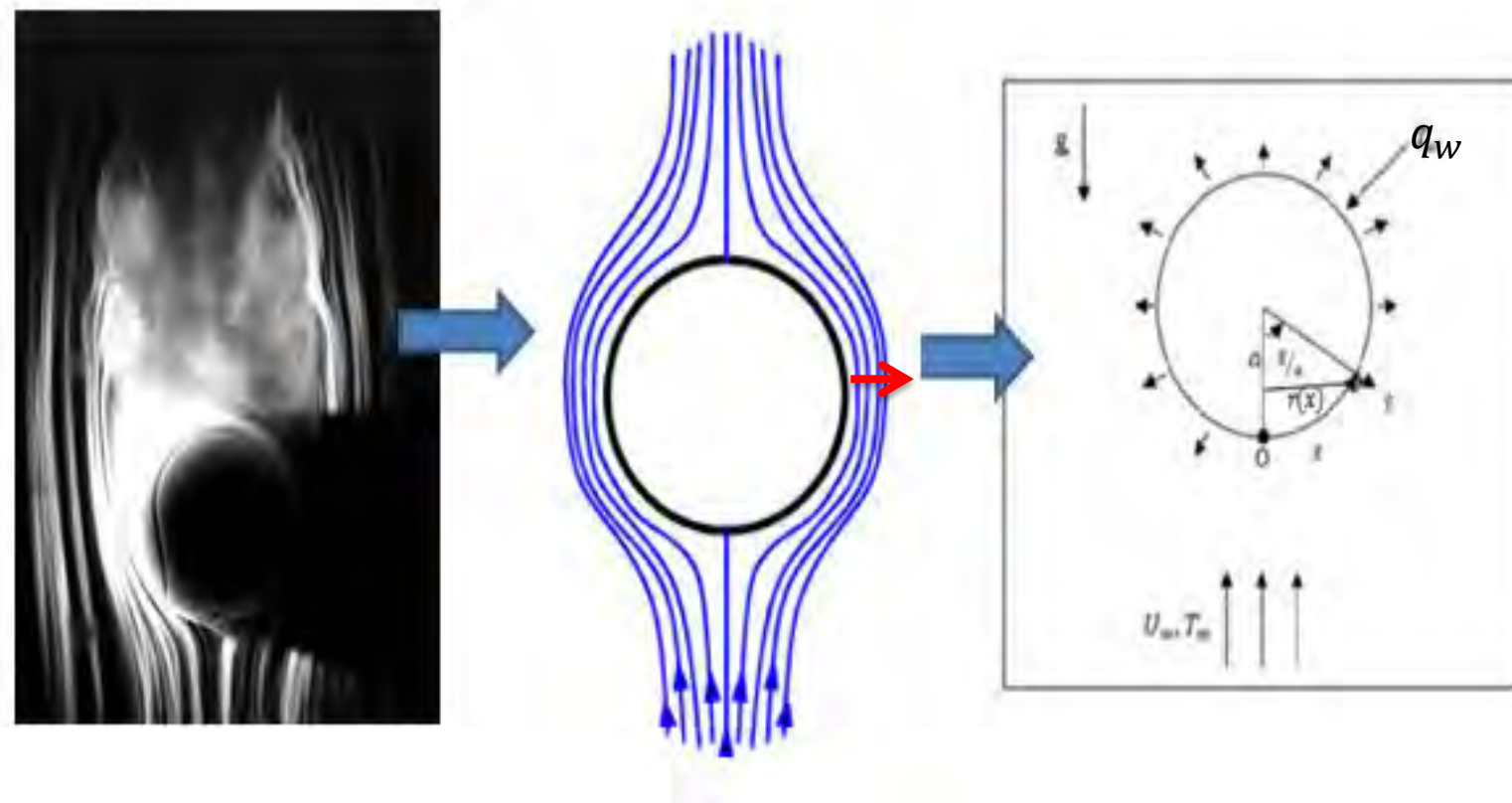
Oleh  
**Mohamad Tafrikan (1213201051)**

Dosen Pembimbing : 1. Prof. Dr. Basuki Widodo, M.Sc.  
2. Dr. Chairul Imron, MI.Komp.

---

**JURUSAN MATEMATIKA**  
**INSTITUT TEKNOLOGI SEPULUH NOVEMBER SURABAYA**  
**2015**

- Fenomena aliran fluida konveksi bebas



Gambar 1. Model fisik aliran konveksi bebas yang melalui sebuah bola berpori

## Metodologi Penelitian

Persamaan Pembangun dimensional

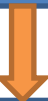
Persamaan Pembangun non-dimensional

Persamaan Similar

Proses Diskritisasi

Simulasi

Analisa Hasil Simulasi



## Persamaan Pembangun dimensional

Hukum Konservasi Massa

Hukum Ke-dua Newton

Hukum Termodinamika I

Persamaan kontinuitas

Persamaan Momentum

Persamaan Energi

**Persamaan Pembangun dimensional**

## Persamaan Pembangun dimensional

Persamaan  
kontinuitas

$$\frac{\partial}{\partial \bar{x}} (\bar{r} \bar{u}) + \frac{\partial}{\partial \bar{y}} (\bar{r} \bar{v}) = 0 \quad (1)$$

Persamaan  
Momentum

$$\begin{aligned} \bar{u} \frac{\partial \bar{u}}{\partial \bar{x}} + \bar{v} \frac{\partial \bar{u}}{\partial \bar{y}} \\ = \bar{v} \left[ \frac{\partial^2 \bar{u}}{\partial \bar{x}^2} \right] - \frac{k_0}{\rho} \left[ \bar{u} \left( \frac{\partial^3 \bar{u}}{\partial \bar{x}^3 \bar{y}^2} \right) + \bar{v} \frac{\partial^3 \bar{u}}{\partial \bar{y}^3} - \frac{\partial \bar{u}}{\partial \bar{y}} \left( \frac{\partial^2 \bar{u}}{\partial \bar{y} \partial \bar{x}} \right) + \frac{\partial \bar{u}}{\partial \bar{x}} \left( \frac{\partial^2 \bar{u}}{\partial \bar{y}^2} \right) \right] \\ + g \beta (\bar{T} - \bar{T}_\infty) \sin \left( \frac{\bar{x}}{\bar{a}} \right) - \frac{\nu}{K^*} \bar{u} \end{aligned} \quad (2)$$

Persamaan Energi

$$\bar{u} \frac{\partial \bar{T}}{\partial \bar{x}} + \bar{v} \frac{\partial \bar{T}}{\partial \bar{y}} = \alpha \frac{\partial^2 \bar{T}}{\partial \bar{y}^2} + Q_0 (\bar{T} - \bar{T}_\infty) \quad (3)$$

$$\left. \begin{aligned} \bar{u} = \bar{v} = 0, \frac{\partial \bar{T}}{\partial \bar{y}} = - \frac{q_w}{k} \text{ pada } \bar{y} = 0 \\ \bar{u} = 0, \frac{\partial \bar{u}}{\partial \bar{y}} = 0, \quad \bar{T} = \bar{T}_\infty \quad \text{pada } \bar{y} \rightarrow \infty \end{aligned} \right\}$$

## Persamaan Non-dimensional

Parameter non-dimensi

$$\left. \begin{array}{l} v = \frac{a}{\nu} Gr^{-\frac{1}{4}} \bar{v} \\ \theta = \frac{(\bar{T} - \bar{T}_\infty)}{\left( \frac{q_w a}{k} \right)} \\ x = \frac{\bar{x}}{a} \\ y = Gr^{\frac{1}{4}} \left( \frac{\bar{y}}{a} \right) \\ u = \frac{a}{\nu} Gr^{-\frac{1}{2}} \bar{u} \\ r = \frac{\bar{r}}{a} \end{array} \right\} \quad (4)$$

## Persamaan Non-dimensional

### Persamaan Momentum

$$\frac{\partial u}{\partial x} + \nu \frac{\partial u}{\partial y} = \frac{\partial^2 u}{\partial y^2} + \theta \sin x - K \left[ u \frac{\partial^3 u}{\partial x \partial y^2} + \nu \frac{\partial^3 u}{\partial y^3} - \frac{\partial u}{\partial y} \frac{\partial^2 u}{\partial x \partial y} + \frac{\partial u}{\partial x} \frac{\partial^2 u}{\partial y^2} \right] - P u \quad (5)$$

Dengan  $K = \frac{k_0}{\rho} \frac{Gr^{1/2}}{a^2}$  dan  $P = \frac{a^2}{Gr^{1/2} K^*}$

### Persamaan Energi

$$u \frac{\partial \theta}{\partial x} + \nu \frac{\partial \theta}{\partial y} = \frac{1}{Pr} \frac{\partial^2 \theta}{\partial y^2} + \gamma \theta \quad (6)$$

dengan  $Pr = \frac{\nu}{\alpha}$  dan  $\gamma = \frac{a^2 Q_0}{\nu \rho C_p Gr^{\frac{1}{2}}}$  berturut-turut adalah bilangan Prandtl dan *heat generation*.

Dengan kondisi batas :

$$u = \nu = 0, \frac{\partial \theta}{\partial y} = -1 \text{ untuk } y = 0$$

$$u = 0, \frac{\partial u}{\partial y} = 0, \theta = 0 \text{ untuk } y \rightarrow \infty \quad (7)$$

## Persamaan Similar

Untuk mentransformasi persamaan non-dimensi ke persamaan no-singular , maka digunakan *stream function* yang didefiniskan sebagai berikut.

$$\psi = xr(x)f(x,y), \theta = \theta(x,y)$$

$$u = \frac{1}{r} \frac{\partial \psi}{\partial y}, v = -\frac{1}{r} \frac{\partial \psi}{\partial x}$$

Dengan  $r(x) = \sin x$ , sehingga didapatkan :

$$u = x \frac{\partial f}{\partial y},$$

$$v = -\frac{f}{r} (r + x \cos x) - x \frac{\partial f}{\partial x}$$

Sehingga didapat persamaan non-singular sebagai berikut :

$$f'^2 - 2ff'' = f''' + \theta - K \left[ 2f'f''' - 2ff'''' - (f'')^2 \right] - Pf' \quad (8)$$

dan

$$-2f\theta' = \frac{1}{Pr} \theta'' + \gamma\theta \quad (9)$$

Dengan kondisi batas :

$$\begin{aligned} f(0) &= f'(0) = 0, \theta'(0) = -1 \quad \text{untuk } y = 0 \\ f'(\infty) &= f''(\infty) = 0, \theta(\infty) = 0 \quad \text{untuk } y \rightarrow \infty \end{aligned} \quad (10)$$

## Diskritisasi

Dengan menggunakan metode beda hingga pusat, maka didapat hasil diskritisasi dari Persamaan (8), (9), dan (10) sebagai berikut:

$$t_1 f_{i+2} f_{i+1} - 4t_1 f_i f_{i+2} - t_1 f_{i+2} f_{i-1} + t_2 f_{i+1}^2 + t_3 f_i f_{i+1} - \left(\frac{B}{2}\right) f_{i-1} f_{i+1} - t_1 f_{i-2} f_{i+1} + t_4 f_i^2 + t_3 f_i f_{i-1} - 4t_1 f_i f_{i-2} + t_2 f_{i-1}^2 + t_1 f_{i-2} f_{i-1} + t_5 f_{i+1} - t_5 f_{i-1} + \left(\frac{C}{2}\right) f_{i-2} - \theta_i = 0 \quad (11)$$

Dan

$$(Af_i - B1)\theta_{i-1} - (Af_i + B1)\theta_{i+1} + (2B1 - \gamma)\theta_i = 0 \quad (12)$$

Dengan kondisi batas :

$$\begin{aligned} f_i &= 0, & f_{i+1} &= f_{i-1}, & \theta_{i+1} &= -2\Delta y + \theta_{i-1} \\ f_{i+1} &= f_{i-1}, & f_{i+1} &= 2f_i - f_{i-1}, & \theta_i &= \theta_{i-1} - \Delta y, & \theta_i &= 0 \end{aligned} \quad (13)$$

Dengan

$$A = \frac{1}{\Delta y}, B = \frac{1}{\Delta y^2}, C = \frac{1}{\Delta y^3}, D = \frac{1}{\Delta y^4}, t_1 = \frac{DK}{2}, t_2 = \frac{B-8DK}{4}, t_3 = 12DK - 2B, t_4 = 4B - 16DK, \text{ dan } t_5 = \frac{2C+AP}{2}.$$

menurut Berlin Chen, Persamaan (11) dan (12) dapat dilinierisasi dengan metode Gauss-Seidel. Adapun formula dari metode Gauss-Seidel sebagai berikut:

$$x_i^k = \frac{1}{a_{ii}} \left[ \sum_{j=1, j \neq i}^m (-a_{ij}^{k-1}) + b_i \right], i = 1, 2, 3, \dots, m. \quad (14)$$

dengan  $a_{ii}$  sebuah konstanta dan  $x_i^{k-1}$  nilai awal.

Dengan Persamaan (14), maka dapat dicari nilai  $f(1), f(2), \dots, f(M-1), f(M)$  dan  $\theta(1), \theta(2), \dots, \theta(M-1), \theta(M)$ .

Untuk iterasi ke-1 didapat :

$$f_1 = \text{sqrt} \left[ (-1)(t_1 f_3 f_2 - 4t_1 f_1 f_3 - t_1 f_3 f_0 + t_2 f_2^2 + t_3 f_1 f_2 - \left(\frac{B}{2}\right) f_0 f_2 - t_1 f_1 f_2 + t_3 f_1 f_0 \right.$$

$$\left. - 4t_1 f_1 f_0 + t_2 f_0^2 + t_1 f_0 f_0 + t_5 f_2 - t_5 f_0 + \left(\frac{C}{2}\right) f_1 - \theta_1 \right) / t_4 \Big]$$

$$\theta_1 = \frac{(B1 - Af_0)(\theta_2 + 2\Delta y) + (Af_0 + B1)\theta_2}{(2B1 - \gamma)}$$

- Iterasi ke-2

$$f_2 = \text{sqrt} \left[ (-1)(t_1 f_4 f_3 - 4t_1 f_2 f_4 - t_1 f_4 f_1 + t_2 f_3^2 + t_3 f_2 f_3 - \left(\frac{B}{2}\right) f_1 f_3 - t_1 f_0 f_3 + t_4 f_i^2 + t_3 f_2 f_1 - 4t_1 f_2 f_0 + t_2 f_1^2 + t_1 f_0 f_1 + t_5 f_3 - t_5 f_1 + \left(\frac{C}{2}\right) f_0 - \theta_2)/t_4 \right]$$

$$\theta_2 = \frac{(B1 - Af_0)(\theta_1 + 2\Delta y) + (Af_0 + B1)\theta_3}{(2B1 - \gamma)}$$

⋮

- Iterasi ke-(M)

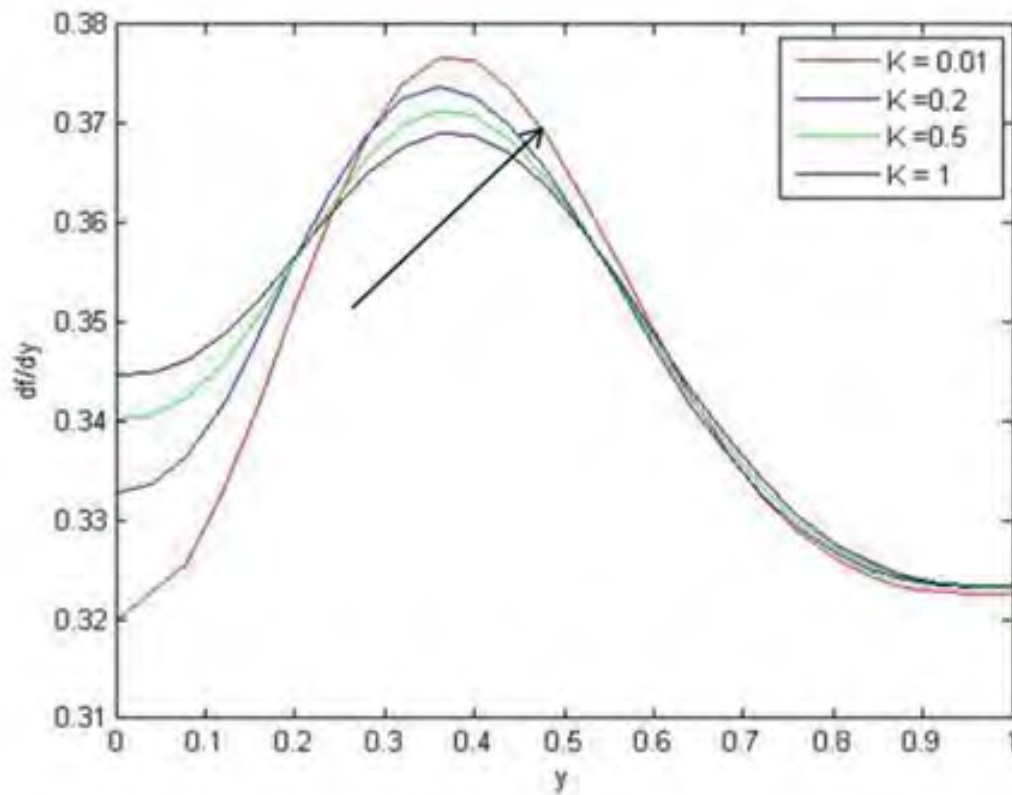
$$f_M = \text{sqrt} \left[ (-1)(t_1 f_{M-1} f_{M-1} - 4t_1 f_M f_M - t_1 f_M f_{i-1} + t_2 f_{M-1}^2 + t_3 f_M f_{M-1} - \left(\frac{B}{2}\right) f_{M-1} f_{M-1} - t_1 f_{M-2} f_{M-1} + t_3 f_M f_{M-1} - 4t_1 f_M f_{M-2} + t_2 f_{M-1}^2 + t_1 f_{M-2} f_{M-1} + t_5 f_{M-1} - t_5 f_{M-1} + \left(\frac{C}{2}\right) f_{M-2} - \theta_M)/t_4 \right]$$

$$\theta_M = \frac{(B1)\theta_{M-1}}{(2B1 - \gamma)}$$

Dengan  $B1 = \frac{B}{Pr}$

## Hasil Simulasi

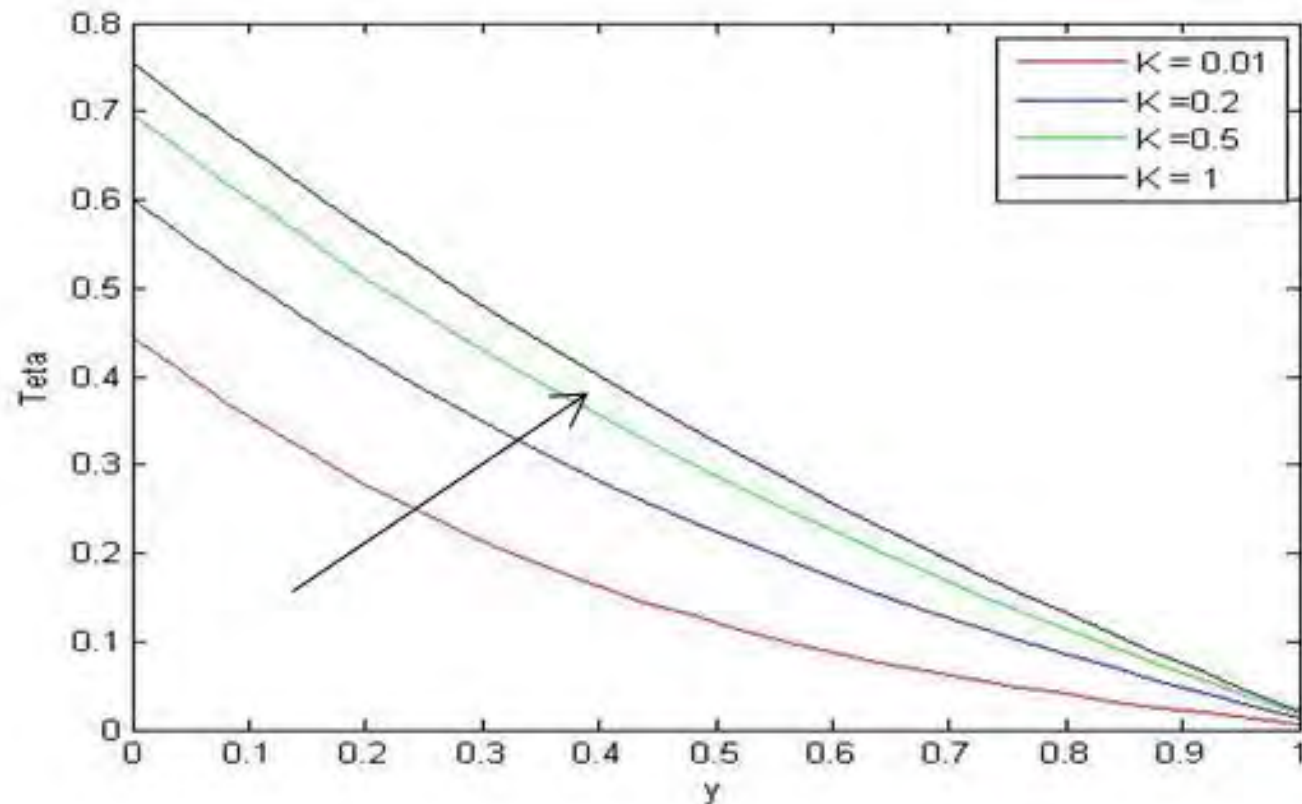
1. Grafik profil kecepatan fluida dengan pengaruh nilai parameter  $\gamma = 0.5, Pr = 1, P = 10$  dan viskoselastik ( $K$ ) yang divariasi.



$$K = \frac{k_0}{\rho} \frac{Gr^{1/2}}{a^2}$$

## Hasil Simulasi(lanj)

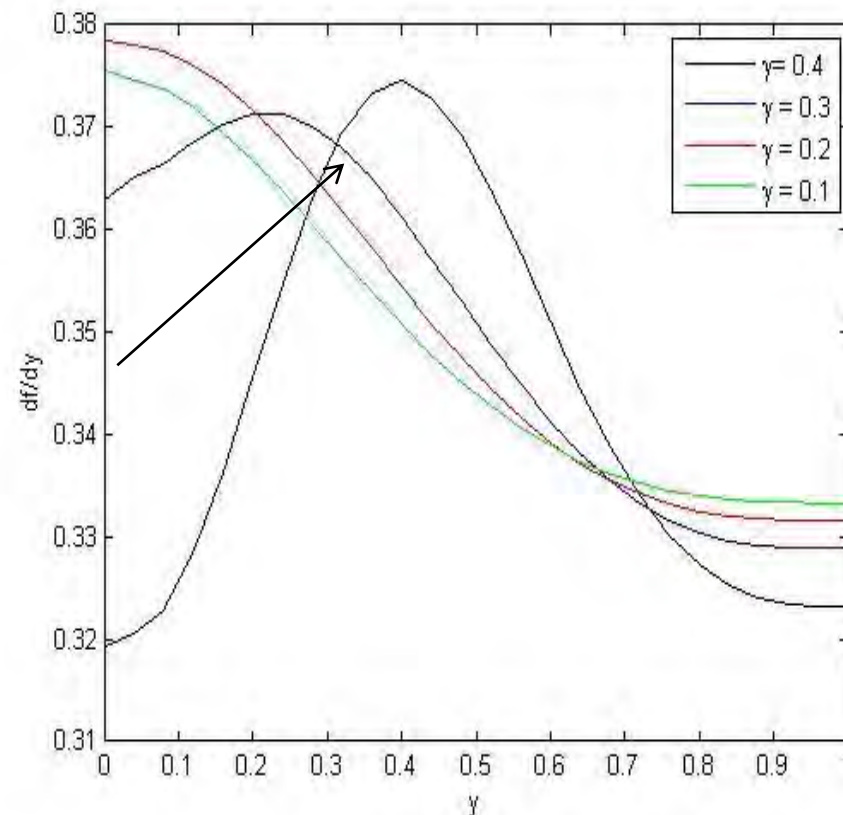
2. Grafik profil temperatur fluida dengan pengaruh nilai parameter  $\gamma = 0.5$ ,  $Pr = 1$ ,  $P = 10$  dan viskoselastik ( $K$ ) divariasi.



$$K = \frac{k_0}{\rho} \frac{Gr^{1/2}}{a^2}$$

## Hasil Simulasi(lanj)

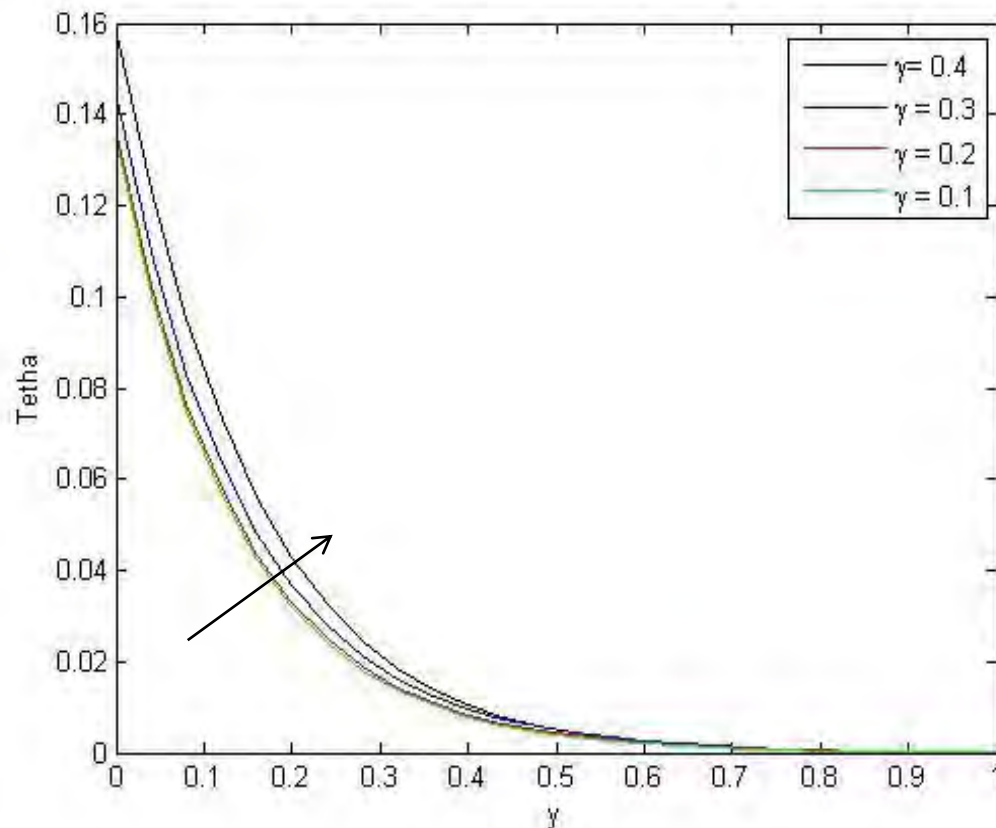
3. Grafik profil kecepatan fluida dengan pengaruh nilai parameter  $K = 0.01$ ,  $Pr = 1$ ,  $P = 0.1$ , dan parameter *heat generation* ( $\gamma$ ) yang divariasi.



$$\gamma = \frac{a^2 Q_0}{\nu \rho C_p G r^{\frac{1}{2}}}$$

## Hasil Simulasi(lanj)

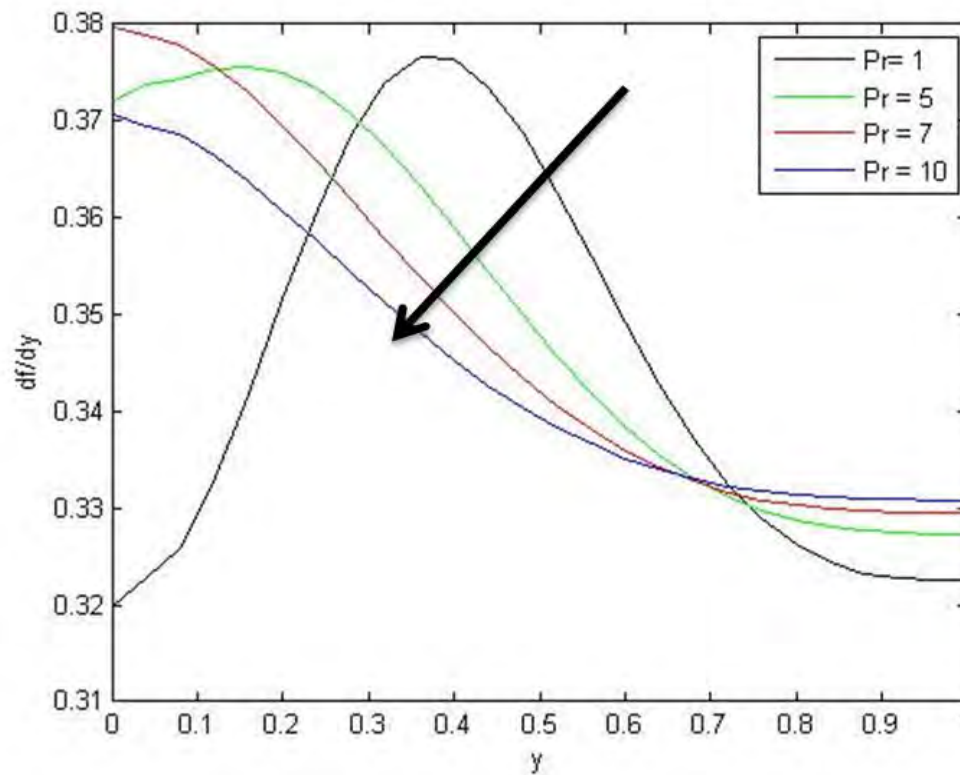
4. Grafik profil temperatur fluida dengan pengaruh nilai parameter  $K = 0.01$ ,  $Pr = 10$ ,  $P = 1$  dan parameter *heat generation* ( $\gamma$ ) yang divariasi.



$$\gamma = \frac{a^2 Q_0}{\nu \rho C_p G r^{\frac{1}{2}}}$$

## Hasil Simulasi(lanj)

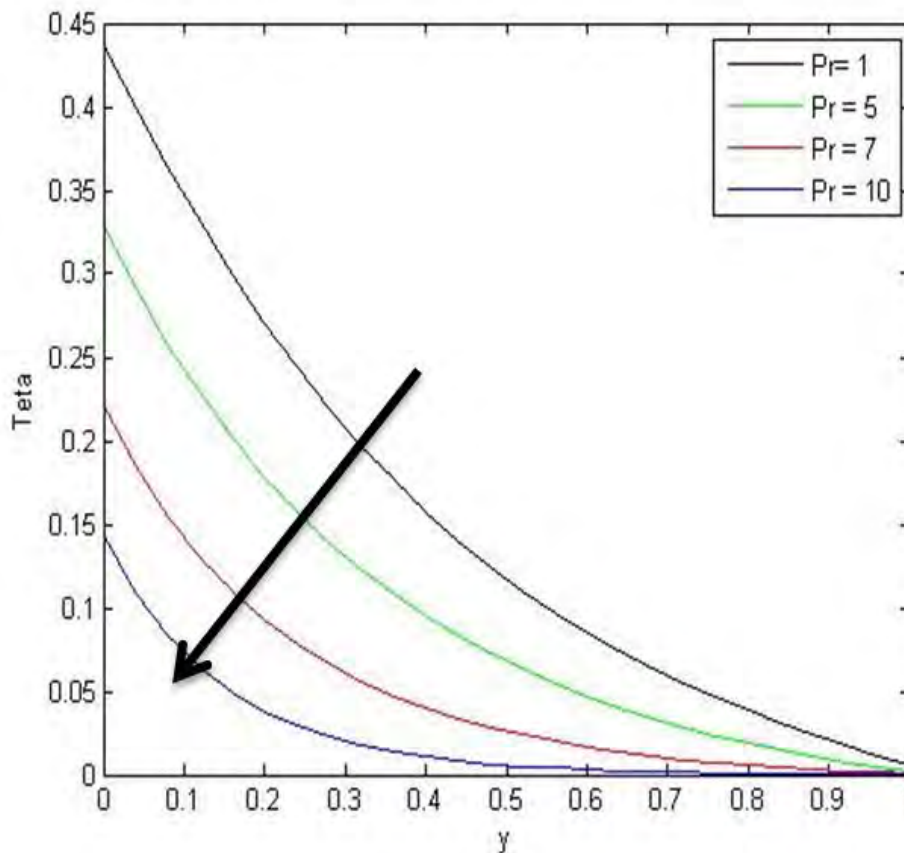
5. Grafik profil kecepatan fluida dengan pengaruh nilai parameter  $K = 0.01$ ,  $\gamma = 0.5$ ,  $P = 0.1$  dan parameter bilangan Prandtl ( $Pr$ ) yang divariasi.



$$Pr = \frac{\nu}{\alpha}$$

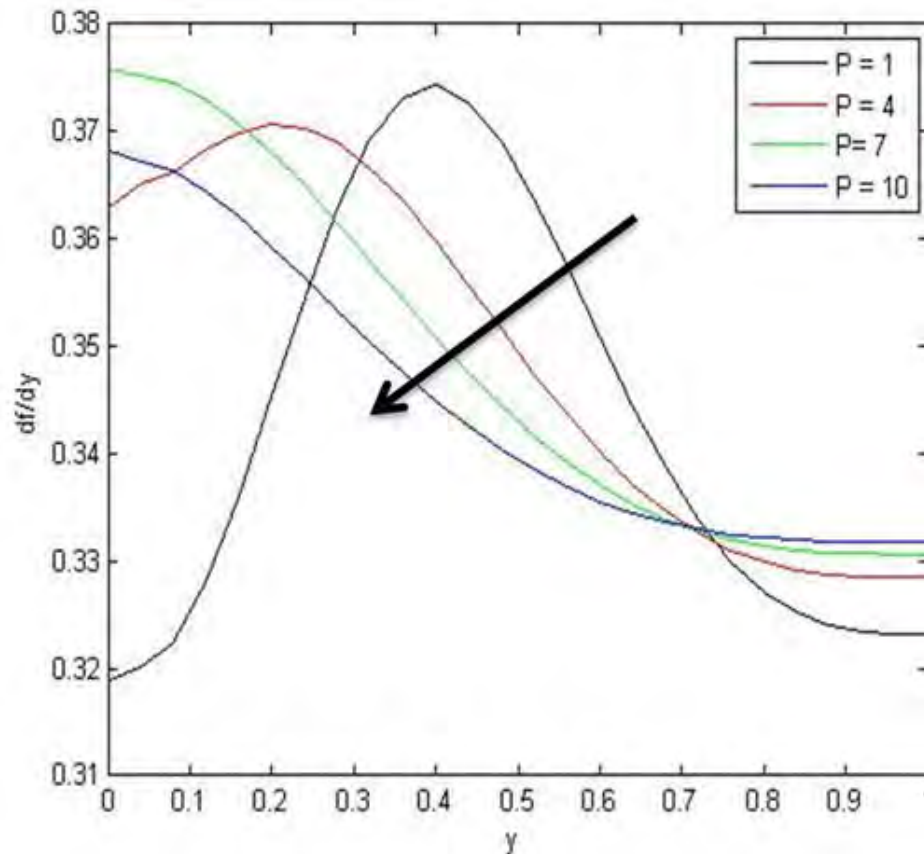
## Hasil Simulasi(lanj)

6. Grafik profil temperatur fluida dengan pengaruh nilai parameter  $K = 0.01$ ,  $\gamma = 0.5$ ,  $P = 0.1$  dan parameter *bilangan Prandtl* (Pr) yang divariasi.



$$Pr = \frac{\nu}{\alpha}$$

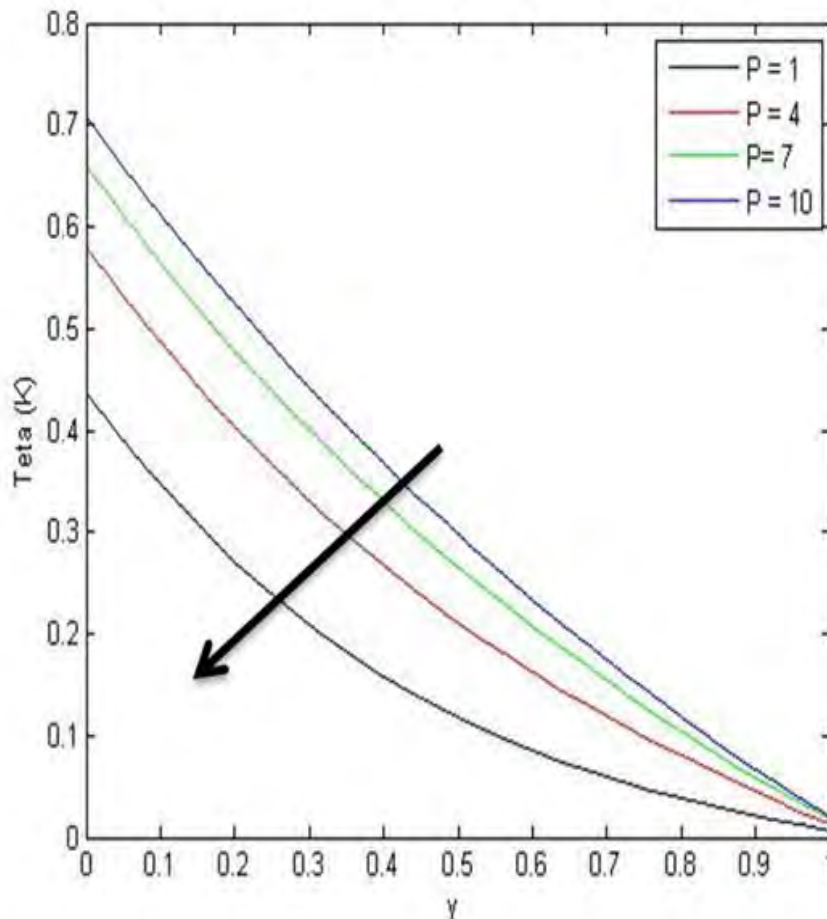
7. Grafik profil kecepatan fluida dengan pengaruh nilai parameter  $K = 0.01$ ,  $\gamma = 0.2$ ,  $Pr = 1$  dan parameter porositas ( $P$ ) yang divariasi.



$$P = \frac{a^2}{Gr^{1/2} K^*}$$

## Hasil Simulasi(lanj)

8. Grafik profil temperatur fluida dengan pengaruh nilai parameter  $K = 0.01$ ,  $\gamma = 0.2$ ,  $Pr = 1$  dan parameter porositas ( $P$ ) yang divariasi.



$$P = \frac{a^2}{Gr^{1/2} K^*}$$

## Kesimpulan

Pengaruh dari parameter viskoelastik ( $K$ ), bilangan Prandtl ( $Pr$ ), pembangkit panas ( $\gamma$ ), dan porositas ( $P$ ) terhadap profil kecepatan ( $f'$ ) dan profil temperatur ( $\theta$ ) dari aliran konveksi bebas yang melalui permukaan sebuah bola berpori didapat hasil sebagai berikut :

- Pengaruh nilai parameter pembangkit panas ( $\gamma = 0.5$ ), bilangan Prandtl ( $Pr = 1$ ), porositas ( $P = 10$ ), dan viskositas yang divariasi ( $K = 0.01, 0.2, 0.5, 1$ ) terhadap kecepatan aliran berbanding terbalik. Sedangkan pengaruh nilai parameter pembangkit panas ( $\gamma = 0.5$ ), bilangan Prandtl ( $Pr = 1$ ), porositas ( $P = 0.1$ ), dan viskositas yang divariasi ( $K = 0.01, 0.2, 0.5, 1$ ) terhadap temperatur aliran berbanding lurus.
- Pengaruh nilai parameter viskositas ( $K = 0.01$ ), bilangan Prandtl ( $Pr = 10$ ), porositas ( $P = 1$ ), dan pembangkit panas (*heat generation*) yang divariasi ( $\gamma = 0.1, 0.2, 0.3, 0.4$ ) terhadap kecepatan aliran dan temperatur berbanding lurus.
- Pengaruh nilai parameter viskositas ( $K = 0.01$ ), porositas ( $P = 0.1$ ), pembangkit panas ( $\gamma = 0.5$ ), dan bilangan Prandtl ( $Pr = 1, 5, 7, 10$ ) yang divariasi terhadap kecepatan aliran dan temperatur berbanding terbalik.
- Pengaruh nilai parameter viskositas ( $K = 0.01$ ), pembangkit panas ( $\gamma = 0.5$ ), bilangan Prandtl ( $Pr = 1$ ), dan porositas yang divariasi ( $P = 1, 4, 7, 10$ ) terhadap kecepatan aliran berbanding terbalik. Sedangkan pengaruh nilai viskositas ( $K = 0.01$ ), pembangkit panas ( $\gamma = 0.5$ ), bilangan Prandtl ( $Pr = 1$ ), dan porositas yang divariasi ( $P = 1, 4, 7, 10$ ) terhadap terhadap temperatur aliran berbanding lurus.

## Saran

Adapun saran-saran untuk penelitian berikutnya adalah sebagai berikut :

1. Sebaiknya aliran lapisan batas konveksi bebas yang dikaji bersifat tak tunak (*unsteady*).
2. Sebaiknya fluida yang digunakan bersifat Magneto Hydrodynamic (MHD).

## Daftar Pustaka

- [1] Amin, N., Nazar, R., dan Pop, I, (2002), “On The Mixed Convection Boundary-Layer Flow About A Solid Sphere With Constant Surface Temperature”, The Arabian Journal for Science and Engineering, Volume 27, Number 2C. This article from : upm.edu.sa/articles/272c\_05p.pdf.
- [2] Kasim, A.R.M, (2014), *Convective Boundary Flow of Viscoelastic Fluid*, Universitas Teknologi Malaysia, Malaysia.
- [3] Munson, Bruce, (2003), Mekanika Fluida, Edisi 4, Erlangga. Jakarta.
- [4] Nazar, R., Pop, I., Salleh., M.Z, (2010), “Mixed Convection Boundary Layer Flow about A Solid Sphere with Newtonian Heating”, Arch. Mech, 62, 4, pp. 283-303, Warszawa. This article from: <http://am.ippt.pan.pl/am/article/viewFile/v62p283/pdf>.
- [5] Sleigh, Andrew, (2001), *An Introduction to Fluid Mechanics*, University of Leeds. England.
- [6] Widodo, B., Fatahillah, A., Rahayuningsih, T, ( 2011), “Mathematical Modelling and Numerical Solution of Iron Corrosion Problem Based on Condensation Chemical Properties”, Australian Journal of Basic and Applied Sciences,5(1), pp. 79-86.